

# 高トルクな RC サーボモータを用いたエネルギー変換効率の良い柔軟関節 6 自由度肩義手 (SDP, ロボットアーム 1.45kg) の協調動作制御システム

木下 敏治\* 山口 彰大\*\* 安藤 誠基\*\*\* 香川 優介\*\*\*\* 大東 賢治\*\*\*\*\*

## A coordinated motion control system for energy-saving model flexible joint shoulder disarticulation prosthesis (SDP, robot arm 1.45kg) with 6degrees of freedom using high torque RC servo motors

Toshiharu KINOSHITA, Shota YAMAGUCHI, Masaki ANDO, Yusuke KAGAWA and Kenji OHIGASHI

### Abstract

In this paper I propose a quite high torque practical SDP (robot arm) using new RC servo motor. By using Motion Processor 2 (MP2) control circuit (KONDO KAGAKU Co.), I can provide a simplified total system of a compliance control method. The flexible joint SDP (robot arm) have 6 degrees of freedom ( $\theta_1$ : shoulder rotation angle,  $\theta_2$ : shoulder flexion-extension angle,  $\theta_3$ : humeral rotation angle,  $\theta_4$ : elbow flexion-extension angle  $\theta_5$ : wrist rotation angle,  $\theta_6$ : hand prehension angle) I used SDP (robot arm) movement control program using script language. (KONDO KAGAKU Co.) A practical flexible joint SDP (flexible joint robot arm 1.45Kg) can make by new vibration control theory (Flexible Joint Robot Arm Control Kinoshita theory was proposed by us and was called "FJRACK theory") which is look like FST(Fixed Suspension Transducer) of B&W Co.. A rise time, a fall time, settling time and steady-state deviation using control engineering is possible to solve it from the GL900's data. As a result, prehension part of flexible joint SDP (robot arm) was able to stop vibration of a hand by principle of conservation of energy.

Keywords: coordinated motion, flexible joint prosthesis, SDP, robot arm 1.45kg, FJRACK theory

## 1. まえがき

### 1.1 はじめに

---

\*香川高等専門学校詫間キャンパス  
電子システム工学科

\*\*三菱電機株式会社通信機製作所

\*\*\*富士重工業株式会社

\*\*\*\*扶桑建設工業株式会社

\*\*\*\*\*大岡技研株式会社

全国 18 歳以上の身体障害者数 (在宅) は, 348 万 3000 人 (平成 18 年 7 月度) と推計されており, その中で肢体不自由者は全体の 50.5%を占めている。また前回調査 (平成 13 年 6 月度) と比較して由者は 0.6%増と年々増加傾向となっている。肢体不自由者のための義手, 義足の中で, 肩義手は前腕義手などの他の義手, 義足に比べて開発が遅れている。その中で電動式前腕義手<sup>1)~4)</sup>は, 手の開閉の制

御に筋電を利用して操作する方式で実用化されているが、一方で電動式肩義手は実用化が遅れている。<sup>5)~9)</sup>肩義手(赤澤堅造 他, 動力義手・装具の研究開発の現状と将来, BME(医用電子と生体工学), Vol.13, No.2, p.34-41(1999))は手先まで含めると自由度が多いため制御が複雑になり多自由度になればそれだけ駆動させるアクチュエータの数が増え、重量が重くなる。現在、電動式肩義手は制御方式や重量など基本的な問題点が多く、実用に至るには軽量化及び外観の良さが最大の問題である。<sup>10)~16)</sup>

## 1.2 経緯

本研究は現在の制御理論では安定な制御が非常に難しいとされている柔軟関節構造を肩の部分に持つ6自由度肩義手である。<sup>17)18)</sup>エネルギー吸収ボックスと名付けたアルミニウムで出来た入れ物にアクチュエータをぴったりとネジ止めすることにより一平面内での振動モードは存在できるがそれ以外の振動モードはエネルギー吸収ボックスの弾性限界内のゆがみとアルミの表面振動エネルギーを熱エネルギーとして刻々と放出されるように設計してある。柔軟関節肩義手の制御という今までにない方式を音響工学の最新理論<sup>19)~21)</sup>(B&W, FST(フィクスト・サスペンション・トランジェーサー)コーンからエッジは伝わる屈曲波を熱エネルギーに変換する)を用いて肩義手の実用化に近づく1つの方法を見つけ出すことが出来た。B&W社のFSTの理論でエネルギー吸収ボックスの弾性変形を一定の範囲の変形にとどめる様にする。箱全体がバネの様に元に戻る構造である。本研究は、エネルギー保存則を用いて肩義手の $\theta_1$ ,  $\theta_2$ の余分のエネルギー成分を熱エネルギーに変換して弾性変形範囲を一定値以内にとどめることにより、肩義手の手先が振動しない制御を実現した。以上の工夫により、2007年に上腕水平回転角 $\theta_1$ ・上腕挙上角 $\theta_2$ の2自由度にエネルギー吸収ボックスを用いることにより、非常に安定した動作を本体重量1024gで実現した。香川高等専門学校研究紀要第1号<sup>12)</sup>により、本方式が肩義手だけでなくあらゆるロボットに適用できることを示した。図1にモーションプロセッサ2HV(24g)の写真を示す。RCB-1の代わりにMP2HV<sup>3)</sup>, KRS-6003HV(100g, トルク 67kg・cm, 11.1V)を用いて高トルクで軽量(1.45kg)な6自由度肩義手の協調動作制御システムを設計製作することが本研究の目的である。義手の

開発では世界No.1の実績を持つオットーボック社(Otto Bock)の、現在実用化を目的としている肩義手の重量は2.5kgである。現在アルミニウムを肩義手の部品として用いているが、マグネシウム合金に変更すれば部品の重量を70%に軽量化し、かつ強度を高める事が可能である。経済的に余裕があればRCサーボモータをSRモータ(ステッピングモータを改良したもので高トルク、かつ小型軽量化が可能な次世代のモータであり、日本電産などが希土類を用いないSRモータの開発に2010年成功している)に変更できればより軽量化が可能である。また、小型軽量のポテンシオメータを用いて肩の上腕水平回転 $\theta_1$ 及び上腕挙上 $\theta_2$ の値が、柔軟関節構造にすることによりどのような影響を受けているかを、GRAPH TECのGL900を用いてデータ化し、制御工学の各パラメータの値を測定した。図2に前腕部に使用した佐藤技研の装飾用グローブとソケットの外観を示す。

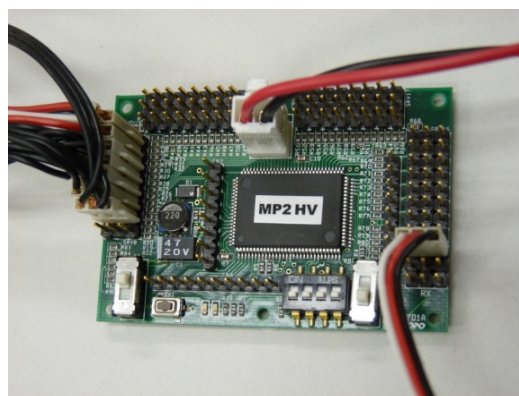


図1. モーションプロセッサ 2HV



図2. 佐藤技研の装飾用グローブとソケット

本方式を産業用ロボットへ応用すればエネルギー問題の画期的な解決法となる。

本研究の目的は、使用者が簡単に制御でき、人間の動作に近い肩義手の開発である。<sup>22)~26)</sup>本研究では、2009年まで耐久テスト(約3年間)を行ってきた肩義手<sup>27)28)</sup>を参考に、新しい肩義手を設計製作することである。

## 2. 研究概要

本研究では、これまでに日常生活においてスプーンでものを食べる、コップで水を飲む等の食事動作、電話に出る等の机上動作を実現することを目的として肩義手を試作した。2007年度の試作機はRCサーボモータ専用のRCB-1をパソコンに接続し、7個のモータを同時に協調動作制御する。300gのものを安定に移動できる。約3年間耐久テストを繰り返した後、朝9時より夕方5時まで手先に持ったボールを投げるなどの各種協調動作を実行する実験を繰り返し、義手の破壊テストを行った。その結果最高速度でボールを投げ続けても本体の構造の変形は少し(上腕回旋部のアルミ板が約3°曲がった)しか生じず、正常な動作を翌日実現できた。<sup>27)28)</sup>よってこの構造は柔軟関節肩義手として使用可能であると判断した。手長の算出式は $0.11 \times \text{身長}$ で公差 $\pm 1\text{cm}$ 、前腕長の算出式は $0.15 \times \text{身長}$ で公差 $\pm 1.5\text{cm}$ 、上腕長の算出式は $(0.19 \times \text{身長}) - \alpha$ で公差 $\pm 1.5\text{cm}$ である。算出式は医用精密工学<sup>22)</sup>より引用したものである。平成19年の統計資料によると20歳の日本人の男性平均身長は173.3cmである。よって173cmの男性の上腕長、前腕長及び手長は、上腕長=32.87cm、前腕長=25.95cm、手長=19.03cmである。この長さを目標に新しい高トルクなシリアルRCサーボモータを用いて肩義手を設計製作した。図1に示すMP2<sup>3)</sup>のチップにはルネッサンステクノロジー社のM16シリーズの演算処理用回路が搭載されている。AD変換器は6チャンネル5msecで同時にアナログ入力が可能となっている。よって高速な演算、各種関数(三角関数など)の利用が可能となり、顔面方位制御方式<sup>1)23)24)</sup>など各種協調動作制御方式<sup>22)</sup>を動作テスト可能である。スプリクトコマンドはロボット制御用に開発された言語である。

## 3. 製作した6自由度肩義手

### 3.1 肩義手の設計・製作

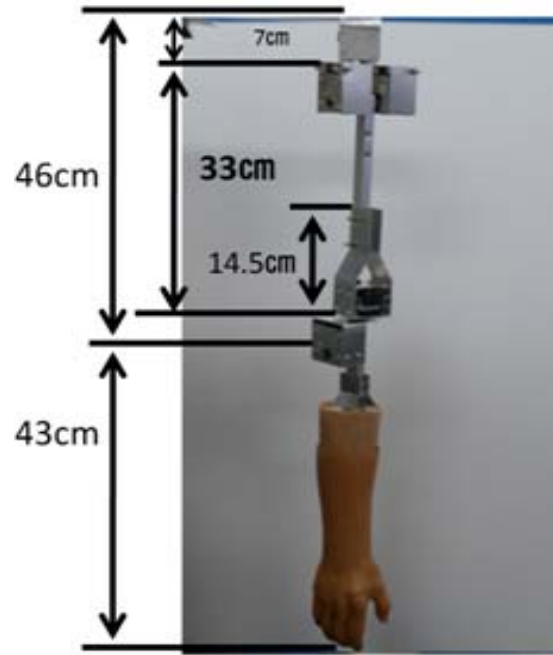


図3. 6自由度肩義手の全体図

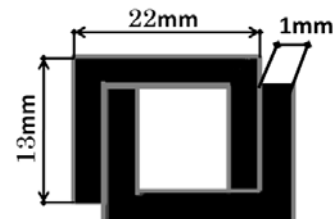


図4. 上腕挙上の構造、同じアルミチャンネルを重ねて強度をあげている

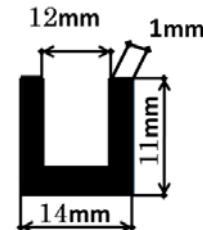


図5. エネルギー吸収ボックス用アルミチャンネル

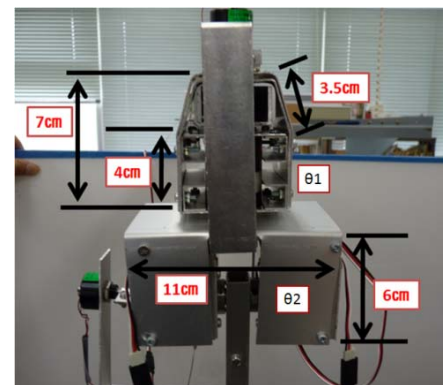


図6. 上腕水平回転( $\theta_1$ )と上腕挙上( $\theta_2$ )

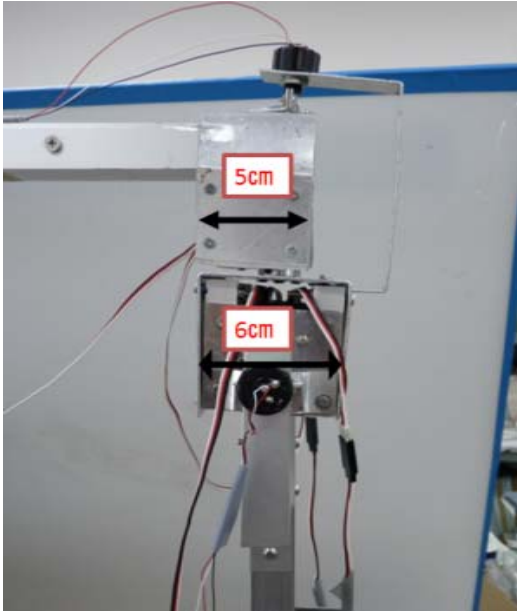


図 7. 図 6 の横から写真

図 6 と図 7 に上腕水平回転角( $\theta_3$ )と上腕挙上角( $\theta_2$ )の前からと横からの写真を示す。製作用にエネルギー吸収ボックス周辺の寸法を記入しておいた。図 9～図 12 にその他各自由度の拡大写真を示している。垂直方向の回転中心が手先を真下に下ろした状態で一直線上に乗るように工作を工夫した。アルミチャンネルは図 5 のような厚さ 1mm のものを使用している。エネルギー吸収ボックスにアルミチャンネルを使用するのはモータから刻々と熱エネルギーとして放出される熱を肩義手の動きにより生じた空気の流入により冷却するためである。

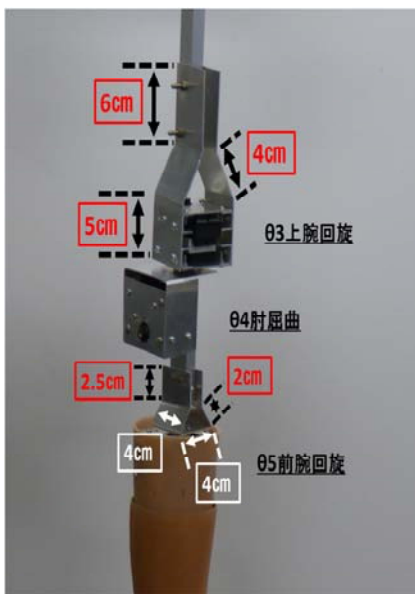


図 8.  $\theta_3 \sim \theta_5$  の拡大写真と寸法

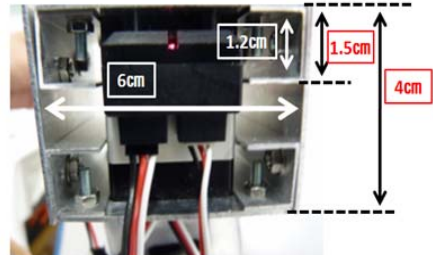


図 9. 下から上腕回転( $\theta_3$ )を見た図

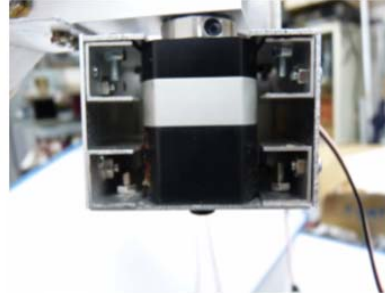


図 10. 下から肘屈曲( $\theta_4$ )を見た図

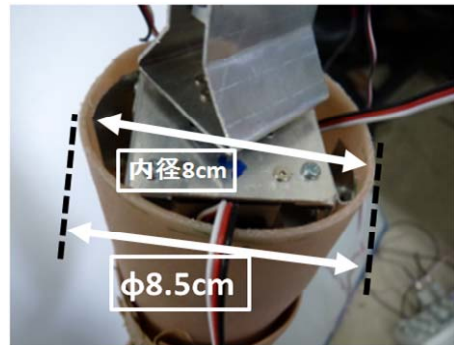


図 11. 前腕回転( $\theta_5$ )とソケットの取り付け方



図 12. 手の開閉( $\theta_6$ )に佐藤技研のグローブを取り付けた

前腕部には装飾用肩義手で世界的に有名な佐藤技研のグローブとソケットを用いた。 $\theta_5$  の前腕回転には KRS-6003HV のシリアル RC サーボモータを使い、 $\theta_6$  の手先の開閉には KRS-2552HV のシリアル RC サーボモータを使用しソケットに固定するやり方で試作を終えた。モータから出る指先の骨組を完成させてからグローブを被せるやり方をとった



ので、グローブの手首が通らず一部を仕方なくカットして取り付けた。肩の2自由度の構造は3年間の耐久テストをクリアしてきた先輩の久本君のチームと同様である。ハイパワーなトルクを持つシリアルRCサーボモータを肩から前腕まで6個使用している。全体に使用している軽量なアルミ板はこれまで0.8mmのものを使用していたが、高トルクに耐えるために厚さを1.2mmに強化した。それでも産業用ロボットアームとして±130°まで使用可能か確認する為、 $\theta_1$ ,  $\theta_2$ の大量データをGL900で測定した。その結果、本実験を始める前にRCサーボモータのアルミ製サーボホーン部とアルミ板の接合部分が故障してしまった。そこでエネルギー吸収ボックスを囲っている枠のアルミの厚さだけはさらに強度を持たせるため1.5mmにした。シリアルサーボ制御方式(RCサーボモータの位置可動範囲は0から270°である。AD変換器の精度が13ビットに改良されたため2<sup>13</sup>通り(=約8000)に分割できる)を用いているため柔軟関節構造を肩の部分に持つ6自由度肩義手は、滑らかな動作が可能である。また、装飾用グローブの手先は指紋が繊細に作られているので摩擦が大きく、物を掴む際に適した構造である。



図 13. 高トルクなシリアル RC サーボモータ 6003HV



図 14. 小型軽量なシリアル RC サーボモータ 2552HV

図 13 に KRS-6003HV を示した。このシリアル RC サーボモータは 2009 年度に制作した肩義手の  $\theta_1 \sim \theta_5$  までの5自由度に全部で6個使用している。これまででトルクは最大であり 67kg・cm である。モータの動作角は±135°であり、最大回転角270°となっている。図 14 は KRS-2552HV のシリアル RC サーボモータである。このモータは小型で軽量な特性を生かした。モータの動作角は±135°であり、最大回転角は270°である。装飾用のグローブ内 ( $\theta_6$ : 手の開閉) に入れて使用することにした。

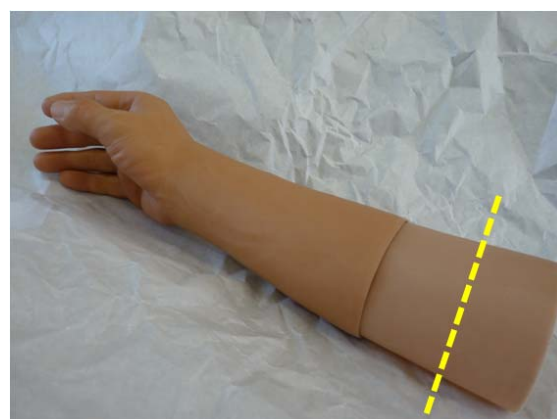
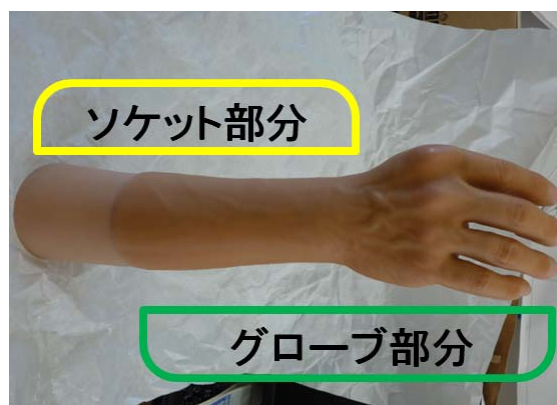


図 15. 装飾用グローブとソケット

	グローブ	ソケット	グローブ+ソケット
重さ	145g	90g	235g
長さ	-	25cm(必要に応じて切断)	39cm- $\alpha$

上にそれぞれグローブとソケットのカット前における質量と長さをまとめておいた。このように、前腕部に佐藤技研の装飾用グローブとソケットを使用した理由は、見た目を人間に近いものにして欲しいという患者さんからの要望である。肩義手製作後、前腕部の重量を測ると 500g であった。

### 3.2 肩義手のシステム構成

#### 3.2.1. システム構成の改良

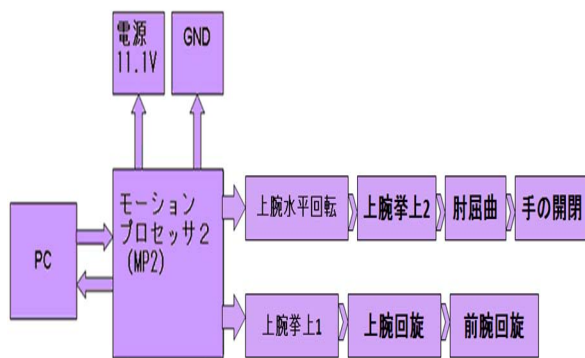
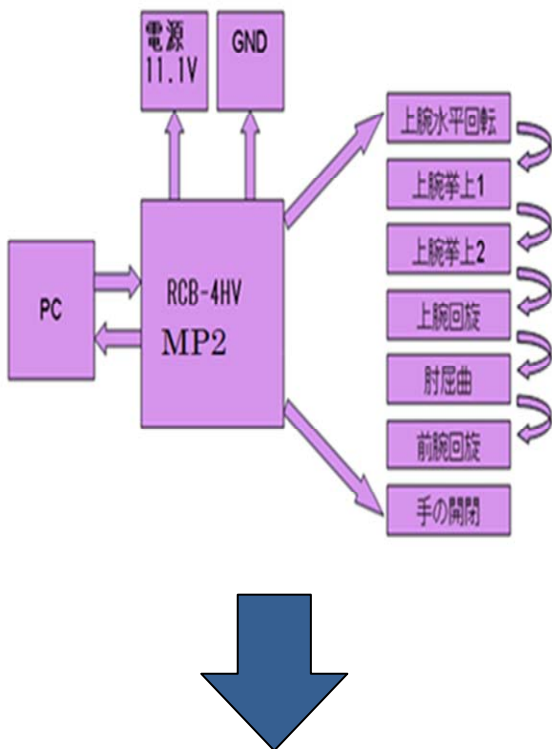


図 16. シリアル制御方式を用いた MP2HV のシステム構成 (数珠つなぎ)

システム制御方式の構成図は、パソコン、電源、近藤科学のロボットコントロールボード MP2 及び 6 自由度に必要な 7 個の RC サーボモータである。

RC サーボモータに対応したロボットコントロールボードを PC に接続し、7 個の RC サーボモータを同時に協調動作させることが可能である。2009 年度には MP2HV で簡単な日常動作を再現することにした。2008 年度に製作した肩義手のスプリクトプログラム (MP2 用に開発されたロボット用言語) はペットボトルの水を飲む動作であった。スプリクトプログラムで今回作った動作は、「皿の上にある食べ物をフォークで突き刺して食べる」である。ハイビジョンの動画で自然な動きになっていることを確認した。RCB-4HV (シリアル通信 Ver1.3 に対応) は通信速度が MP2 (シリアル通信 Ver1.2 に対応) の 10 倍程度になり、高性能である。しかし、完全に使用方法を理解できておらず、最新版なので近藤科学の他の使用方法用のマニュアルができていなかったため今まで使っていた MP2 で確実に動作するやり方を選択した。ただ、これまでと違い、シリアルサーボモータを肩義手に使用したので数珠つなぎという方法を利用した。数珠つなぎはシリアル RC サーボモータの最大の特徴と言えるであろう。図 16 の上の方法は始めに数珠つなぎをしようと考えたときのシステム構成であるが、図 16 の下のようにポートを 2 個使用するようにし、一つのポートに ID1,2,3,4 と、もう片方のポートに ID1,2,3 と  $\theta_1$  から順に設定していく方がより効率の良い通信方式である。協調動作させるには良い構成であるので、滑らかに動作するには下の構成が推奨される。

#### 3.2.2. RC サーボモータの制御方法

図 1 に示したようなモーションプロセッサ 2HV のコントロールボードで肩義手とパソコンを接続する。今回は MP2Editor という図 17 のようなスライドバー画面で制御した。個々のモータを一個ずつ制御でき、13bit に対応した高精度な制御基板である。マニュアルによると  $\theta_{7500}$  をモータの  $0^\circ$  と考えニュートラルとしている。 $-4000(-135^\circ) \sim 4000(+135^\circ)$  の 8000 通りで数値入力するか、スライドバーを  $2.5^\circ$  間隔で動かすかの方法がある。例えば、 $-889$  とスライドバーを左へ動かすと  $-30^\circ$  モータを動かすことができ、 $+3852$  へとスライドバーを右へ動かすと  $+130^\circ$  動かすことができる。モータはマウスでスライドバーを動かして終了、左クリックを放した瞬間ステップ応答の開始信号となり、最高スピードで目標値まで到達する。

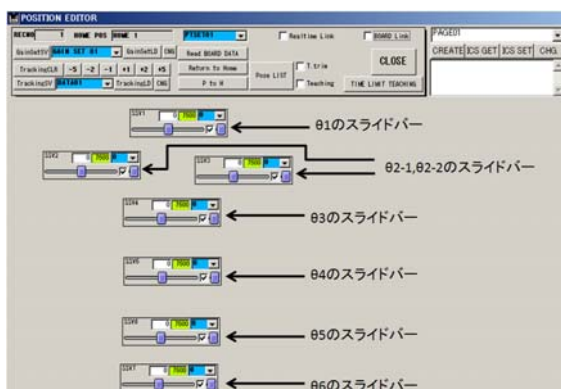


図 17. 制御用のスライダ画面

### 3.2.3. 回転式ポテンシオメータの特性



図 18. CP-2FB(b)の構造

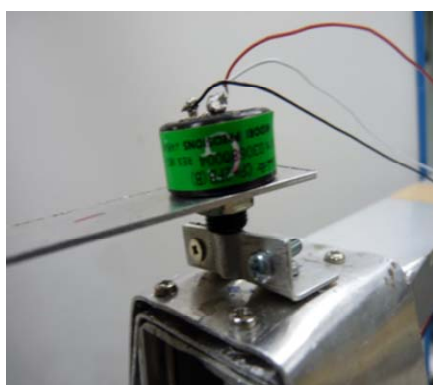


図 19. CP-2FB(b)圧着の様子

緑測器のポテンシオメータは、5V の電圧源としており、回転角が最大の  $340^\circ$  になると 5V に達する様にしている。分度器を用いて入出力特性を求めた。図 19 に示すように、ポテンシオメータの回転軸を 2 枚のアルミ板を変形させたもので、圧着することにより複雑な外力に柔軟に対応しながらデータが取れるように工夫した。

## 4. 実験方法

### 4.1 肩の 2 自由度に取り付けた 回転式ポテンシオメータとステップ応答

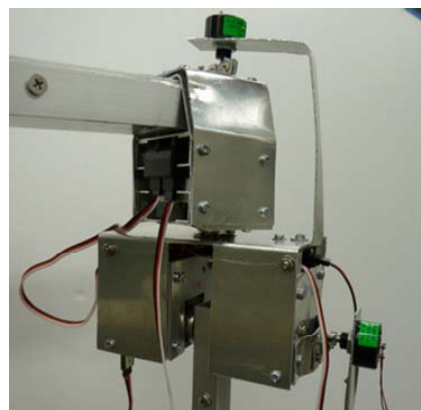


図 20. 回転式ポテンシオメータを取り付けた様子



図 21. GRAPHTEC GL900

回転式のポテンシオメータは図 19 に示す様に  $\theta_1$  (上腕水平回転角度) と  $\theta_2$  (上腕挙上角度) に取り付けてステップ応答波形を測定することにした。回転式ポテンシオメータはアルミの圧着により軸のみを固定して半田付けした配線の付いた本体ごと回転させるように取り付けている。ポテンシオメータの軸はモータの回転軸の真上になるよう正確に取り付けを行った。GL900 の分解能 (電圧軸を意味する) は 16 ビットに対応しており、画面の縦軸を電圧軸とすると  $2^{16}$  分割できる。

①  $\theta_2$  の角度を  $0 \sim 100.1^\circ$  とした時の  $\theta_1=0$  の測定項目について説明する。

$\theta_1$  は一定の値、例えば  $\theta_1=0^\circ$  に対応しているはずであるが腕の姿勢の状態によっては新しい  $\theta_1=$



1° などに変化している可能性がある（多くのデータの中に該当するものがあつた）。また、ステップ応答の影響で変動波形が観測されている。変動が±2%以上の場合、変動が続く時間は±2%の整定時間の定義を使うことができる。±2%以内の場合は元の値と新しい値に変化するまでの時間とその時どの程度の変動が起きているのか理解すれば良い。ポテンシオメータの取り付けを肩の2自由度にしているので、図21のGL900の2チャンネル使用し、上腕水平回転角と上腕挙上角の出力信号を変動波形としてデータ化する。肩義手は非常に多くのねじを用いて独自に開発した部品を結合したものであるため、一動作ごとに各関節に加わるトルクが変化するため、ねじ締めが強さが少しずつ変化し、その結果肩義手の各部分の重心位置が微妙に変化するため上記のような初期位置の変動が起きると予想される。

## 5. 動作実験

### 5.1 スライドバーを使用し肩義手のステップ応答波形を求める実験（負荷 300g）

#### 5.1.1. 上腕回旋角 ( $\theta_3$ ) 30° 肘屈曲角 ( $\theta_4$ ) 90° での上腕挙上角運動 ( $\theta_2=0\sim 120^\circ$ )

図22～24に示した変動波形は、水300gのペットボトルを肩義手の手先に持たせ、GL900で観測したステップ応答波形である。このデータを取り上げた理由は、立上り時に肩義手が到達位置まで動作した後、ポテンシオメータの誤差による振動以外ほぼ振動が起っていないからである。ロボット工学においてステップ応答波形はオーバーシュートやアンダーシュートを繰り返しながら目標値に安定していくのが普通である。水を持たせていないとき（負荷なし）でも振動はあつたが、300gの負荷の時に振動が減ったということである。従って、この肩義手においては日常動作で物を持った状態のほうが物を持ち上げるとき安定することがわかつた。対して、立下り時には、やはり最高スピードで動作する肩義手は重力の影響を大きく受け、はじめ大きなアンダーシュートの起こる振動波形となつた。しかし、肩義手の補強をした後であるので2sec程度で振動は止まっている。肩義手の取付台が重力の反作用により大きく振動してしまう為、目標値のアンダーシュートやオーバーシュートが大きくなってしまふ。より高価な取付台を用いれば反作用の影響を少なく出来る。

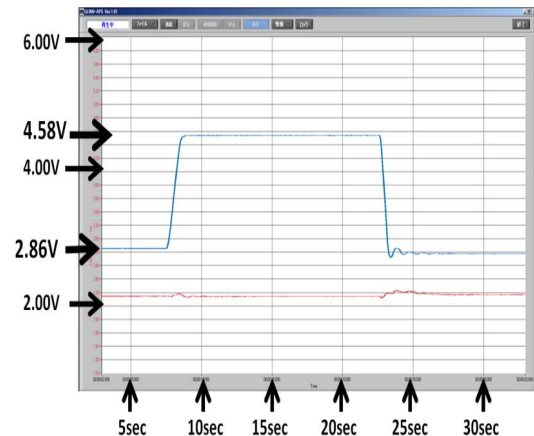


図22. 上腕挙上角0～120°のステップ応答

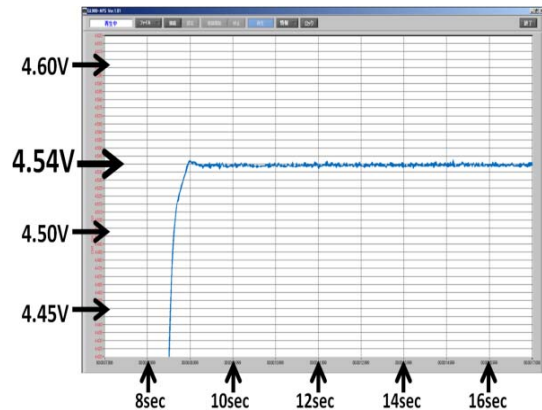


図23. 立上り特性の拡大図

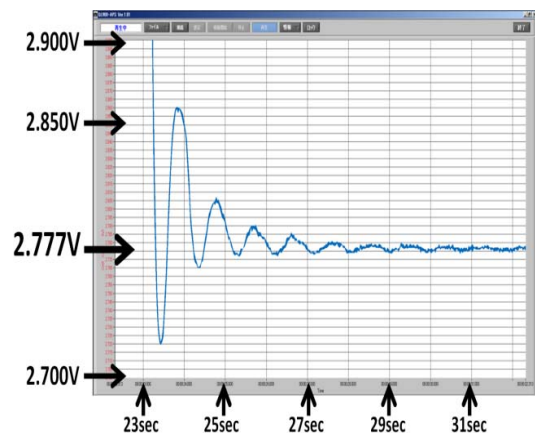


図24. 立下り特性の拡大図



## 5.2 スライドバーを使用した肩義手の動作実験 (負荷なし)

### 5.2.1. 上腕挙上角 ( $\theta_2$ ) $80^\circ$ での 上腕水平回転運動 ( $\theta_1=0\sim-90^\circ$ )

下に示したステップ応答波形は、動作実験で失敗した例の一つである。

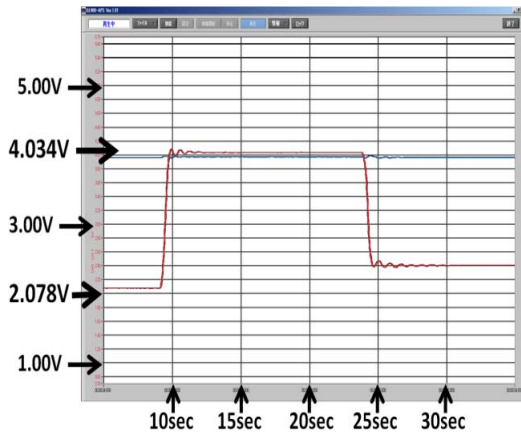


図 25. 上腕水平回転角  $0\sim-90^\circ$  のステップ応答

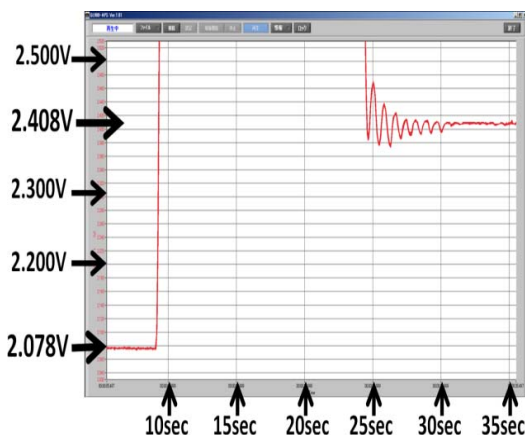


図 26.  $\theta_1=0^\circ$  時のずれ (ポテンシオメータ滑り)

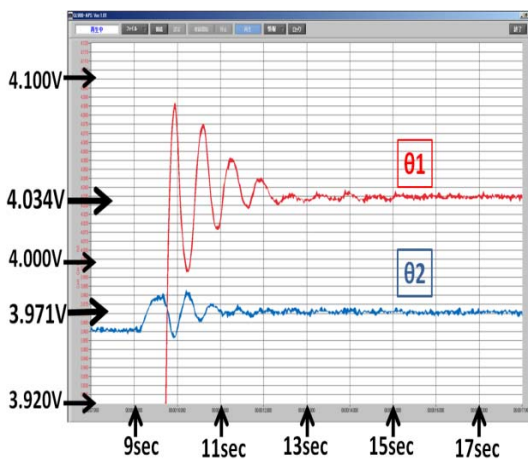


図 27. 立上り特性の拡大図

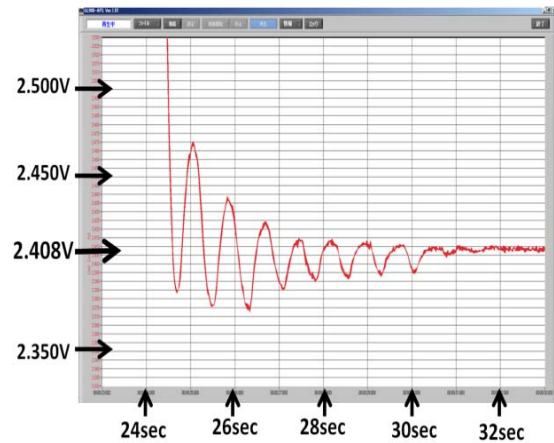


図 28. 立下り特性の拡大図

立上り特性や立下り特性ではオーバーシュート、アンダーシュートの後振動が止まる様子が見られたが、図 25 で  $0^\circ$  の位置の立上り前と立下り後を図 26 に拡大して見比べると明らかに電圧の初期位置がずれていた。これは、ポテンシオメータの軸が滑っていると見て間違いないと思われる。ポテンシオメータはアルミとアルミの変形 (回転軸の部分はアルミ板を半円の形にし、上下よりサンドイッチの様に回転軸を挟み、両側のナットとビスでしっかり止める圧着という方法を用いている) をさせた構造物で圧着して取り付けている。この取り付け方であれば、上腕挙上のポテンシオメータはほとんど問題ないが上腕水平回転のポテンシオメータは激しいエネルギー吸収ボックスの弾性変形によってアルミが変形し、軸を固定したままのとどめておくことが困難となる。特に、少しでも圧着部分のネジがゆるんでいると滑る可能性はより高くなる。現在の段階ではこの取り付け方以上のものは考えられないのでネジを測定前にこまめにしめ直すことで実験を行った。図 27 は  $\theta_1$  のステップ応答の目標値での過渡現象がデータ化できている。 $\theta_1$  のステップ入力信号により肩義手が動き出すと同時に  $\theta_2$  も過渡現象を起こし最初の位置より変化していることがわかる。これが  $\theta_2$  の弾性変形量を示している。

## 6. 実験結果と考察

第一にやるべきことは、 $\theta_1$  (上腕水平回転角) の定常偏差の測定を再度行うことである。変動波形では明らかに目標角度よりも大幅に動作角が進んでおり、ポテンシオメータの性質と関連付けながら実験を行う予定である。 $\theta_4$  (肘屈曲角) の補強も考えている。激しい動きによって  $\theta_4$  のボックスと  $\theta_3$  (上腕回旋角) の接合部分が、 $\theta_2$  (上腕挙上角) の次に負荷がかかるらしく、実験を繰り返す度に少しずつ歪みが大きくなってきている。ここもエネルギー吸収ボックスと同様、1.5mm にアルミを厚くする必要があると考えている。手先に関しては、モータのトルクの改善 (トルク UP) および、グローブの形を修正 (始

めから手を閉じるだけで中指と親指が合わさるような形をオーダー) する必要がある。これで 500g のペットボトルを持たせ、最高スピードで動かしてもペットボトルを離す心配はない。エネルギー吸収ボックス用のアルミ板の厚さは最初 1.2mm で設計製作した。産業用ロボットへの応用を予定しているのでホームポジションを 0 度として (腕の力をぬいてだらりとした楽な姿勢)  $\theta_1$  は 0 から 90 度,  $\theta_2$  は 0 から 120 度のステップ応答波形を GL900 でサンプリングタイム  $10\mu\text{sec}$ , 垂直分解能は 16bit で測定した。また, 0 から -120 度まで変化させた。 $\theta_3$  は 50 度から -50 度まで同様の測定を行った。 $\theta_2$  は 0 から 130 度と 0 から -120 度まで動作させた。 $\theta_5$  は -135 度から 135 度まで動作させた。 $\theta_6$  のトルクは  $14\text{kg}\cdot\text{cm}$  と小さいのでグローブをのけて -135 度から 135 度まで動作させた。繰り返し動作させた結果  $\theta_2$  のエネルギー吸収ボックスが金属疲労により壊れた。そのためアルミの厚さを 1.5mm に変更し, 設計製作を再度行い, 実験を継続した。実験中に肘の部分の強度不足が判明し構造も改良した。具体的にはアルミ板の端を L 字型に少しの高さ直角に曲げることにより強度が向上した。図 29 にスクリプトでプログラムを作成した「フォークで肉を繰り返し刺しながら食事をする」というスクリプトプログラム<sup>3)</sup>を実行した場合の  $\theta_2$  の出力波形を示す。振動のない滑らかな動作になっていることが分かる。目標値近くまで最高スピードで動くかを表す制御量がストレッチ<sup>29)</sup>である。最大 127 (標準 60) に設定されている。ストレッチを 120 に上げて産業用ロボットモードでも同様なデータとなることを確認した。

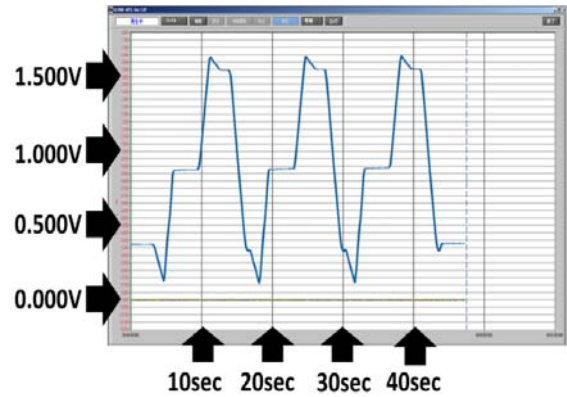


図 29. 食事動作の波形例(ストレッチ 120)

以下に上記内容を制御工学の立上り時間, 立下り時間, 整定時間 ( $\pm 5\%$ ,  $\pm 2\%$ ), 定常偏差を定義に従い測定データを GL900 と USB ケーブルでパソコンにデータを取り込み, 拡大図をプリントアウトして上記パラメータを正確に測定した。エクセルの測定ポイントが大きくなっているデータは改良後のデータである。それ以外は金属疲労が少ない状態での各パラメータの値である。ページ数に制限があるためすべてのデータを論文に示すことはできないので代表的データをエクセル表示する。

### 6.1 立上り時間・立下り時間

ステップ応答で立上る時の 0.1~0.9 に対する時間を立上り時間といい, 立下る時の 0.9~0.1 に対する時間を立下り時間という。図 30 にステップ応答波形の一例 ( $\theta_4=90^\circ$   $\theta_2=0\sim 120^\circ$  負荷なし, ストレッチ 120) を示す。また, 図 31 に立上り時間を測定するための拡大図を示す。ただし, エクセルでグラフ化した波形の大きな三角印▲は  $\theta_4$  改良後のデータである。

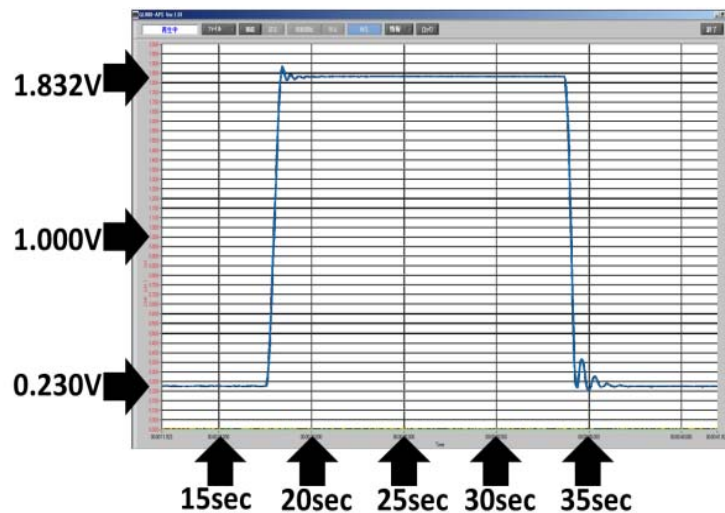


図 30.  $\theta_4=90^\circ$   $\theta_2=0\sim 120^\circ$  負荷 0(ストレッチ 120)

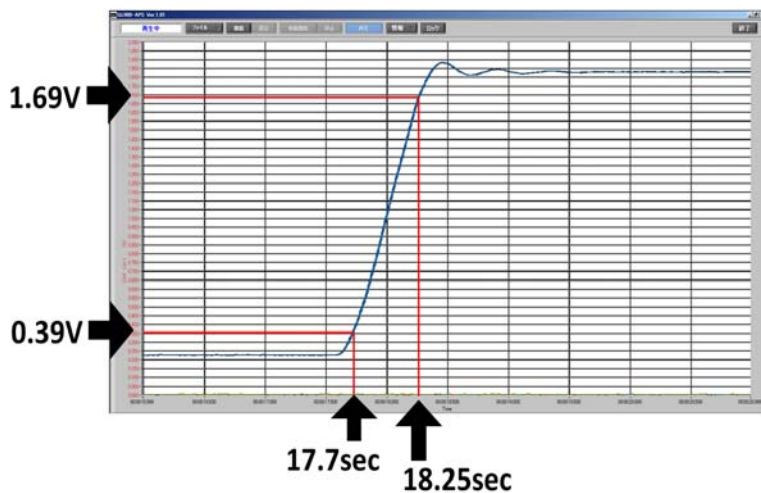


図 31. 立上り時間0.1~0.9

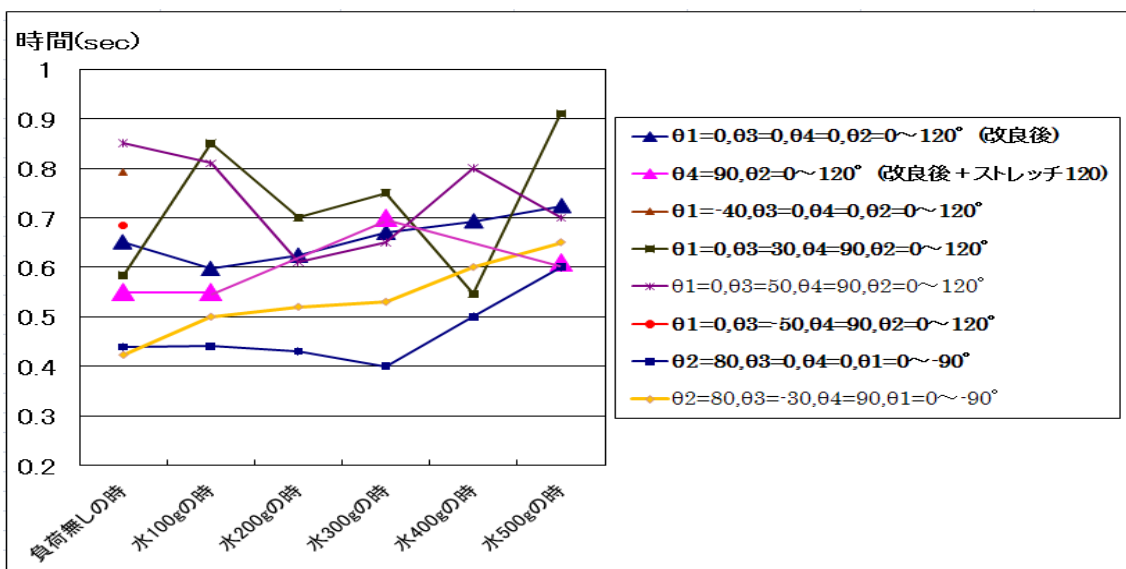


図 32. 立上り時間(負荷0~500g)

図 33 にステップ応答波形の一例 ( $\theta_4=90^\circ$   $\theta_2=$  0~120° 負荷 100g) を示す。また、図 34 には立下り時間を測定するための拡大図を示す。

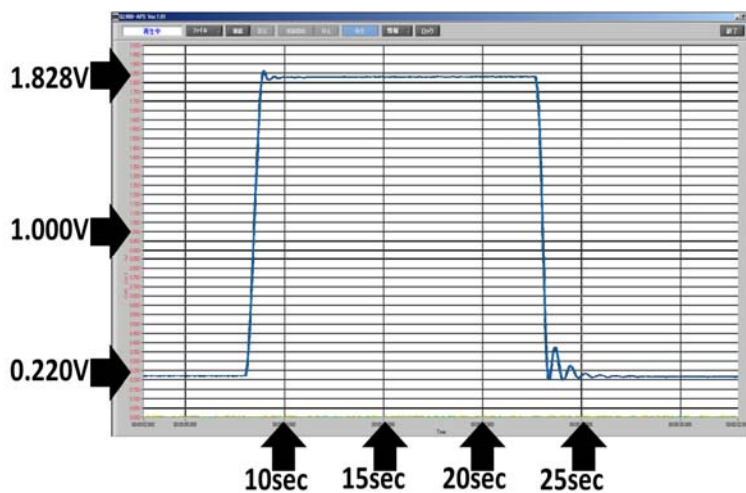


図 33.  $\theta_4=90^\circ$   $\theta_2=0 \sim 120^\circ$  負荷 100g(ストレッチ 120)

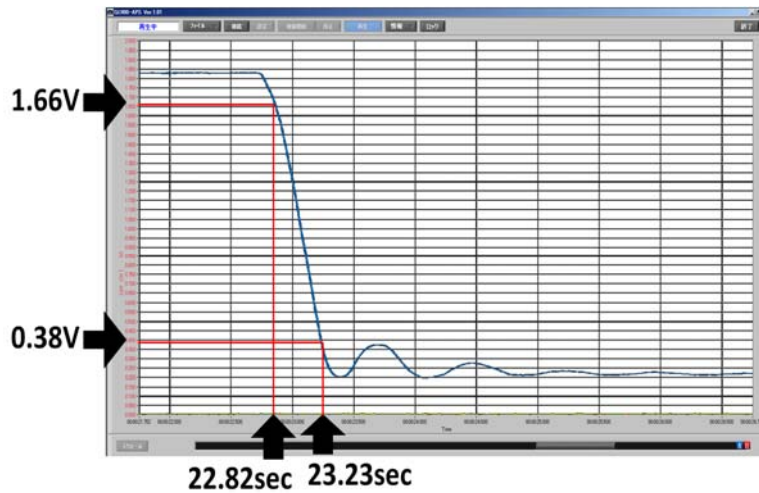


図 34. 立下り時間 0.9~0.1

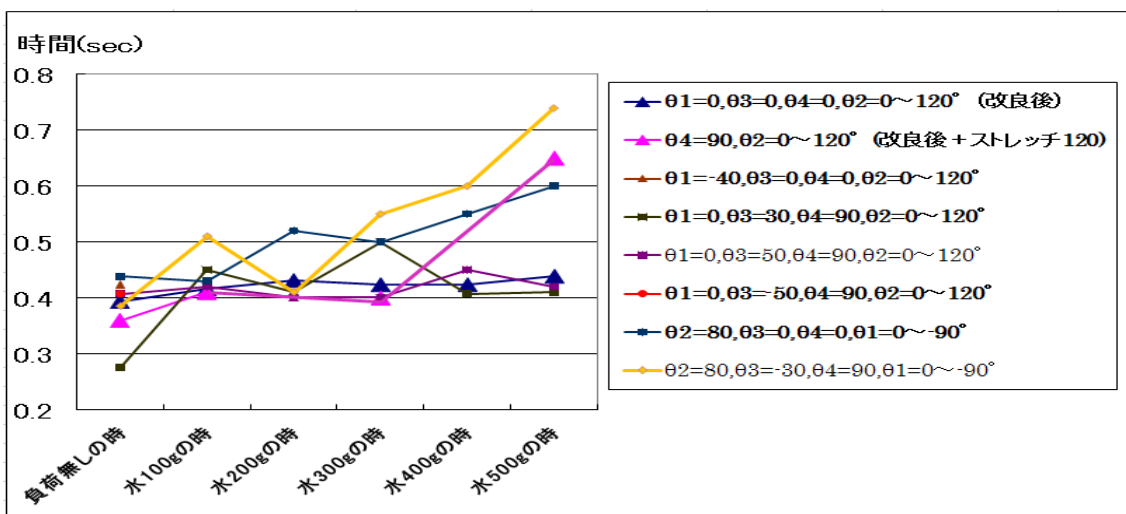


図 35. 立下り時間(負荷 0~500g)

図 32 に上腕挙上運動( $\theta_2$ )と上腕水平回転運動( $\theta_1$ )の立上り時間を負荷 0~500g まで測定し、まとめたグラフを示す。 $\theta_2$ は PWM (Pulse Width Modulation:パルス幅変調) 制御方式では考えられないようなことが起こっていた。シリアル (コンプライアンス) 制御方式であるとモータの発熱<sup>27)</sup> (最高温度設定値 255, 標準設定値 128 で使用している) による無理が生じないように自動的に制限がかかり、目標値まで到達せずに停止するように設計されている。例えば、図 45 で  $\theta_4=90^\circ$  で  $\theta_2=0\sim 120^\circ$  までステップ応答させた時、定常偏差が負荷を 0~500g まで変えた時、定常偏差が  $11^\circ$  から  $9.5^\circ$  (約  $1.5^\circ$  の変化である) ぐらい変動しているだけである。最終的に立上り時間は負荷に関係なくほぼ一定で停止しているのがわかる。図 32 で  $\theta_4=90^\circ$  ,  $\theta_2=0\sim 120^\circ$  までステップ応答させた時の立上り時間は約 0.5 秒~0.7 秒の間に収まっている。 $\theta_1$ の運動では

上腕挙上  $80^\circ$  の状態での横方向の動きであるので、負荷の影響を少し受け、負荷を大きくすると立上りには時間がかかった。図 35 は立下り時間をまとめたグラフより  $\theta_2$ の運動では負荷が大きくなると重力の影響を受け、 $0^\circ$  に戻る動作が加速してしまいそうであるが、モータは自動でその影響を受けないようにスピードを弱め、負荷による時間の変化はほぼ等しい。対して、 $\theta_1$ の運動の立下り時間は上腕挙上を  $80^\circ$  挙げた状態であるので横方向の動きには負荷の影響を少し受け、負荷を大きくすると時間がかかっていた。立下り時の振動には肩義手の取り付け台の振動が含まれているため整定時間 ( $\pm 2\%$ ) が長くなっている。

## 6.2 整定時間 $\pm 2\%$

### 6.2.1. 上腕挙上運動 ( $\theta_2$ ) の整定時間 $\pm 2\%$



整定時間(settling time)とは, ステップ応答が定められた許容範囲内 ( $\pm 2\%$ や $\pm 5\%$ ) に入り, この時点以降は再び許容範囲を越えなくなるまでの時間である。

図 36 にステップ応答の一例 ( $\theta_4=90^\circ$   $\theta_2=0\sim 120^\circ$  負荷 300g) を示す。また, 図 37 に立上り整定時間を測定するのに必要な拡大図を示す。

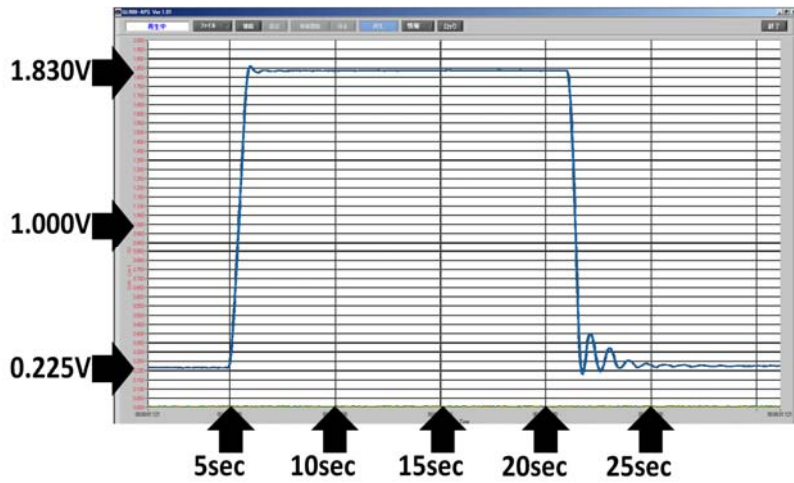


図 36.  $\theta_4=90^\circ$   $\theta_2=0\sim 120^\circ$  負荷 300g(ストレッチ 120)

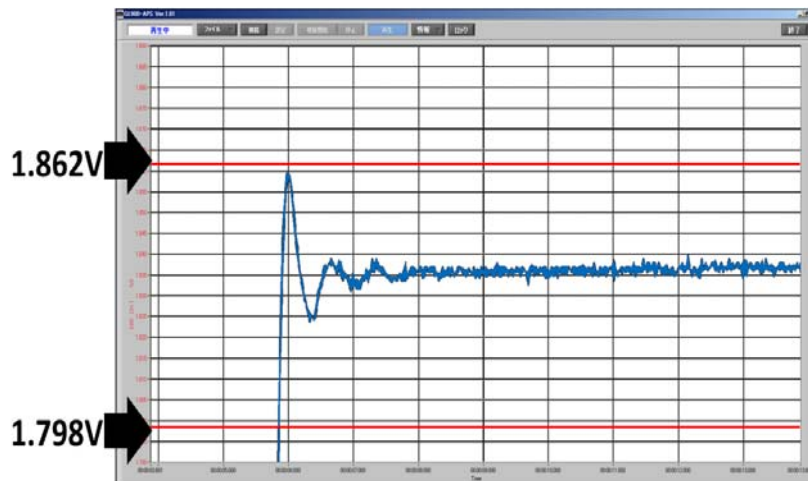


図 37. 整定時間 $\pm 2\%$ 範囲

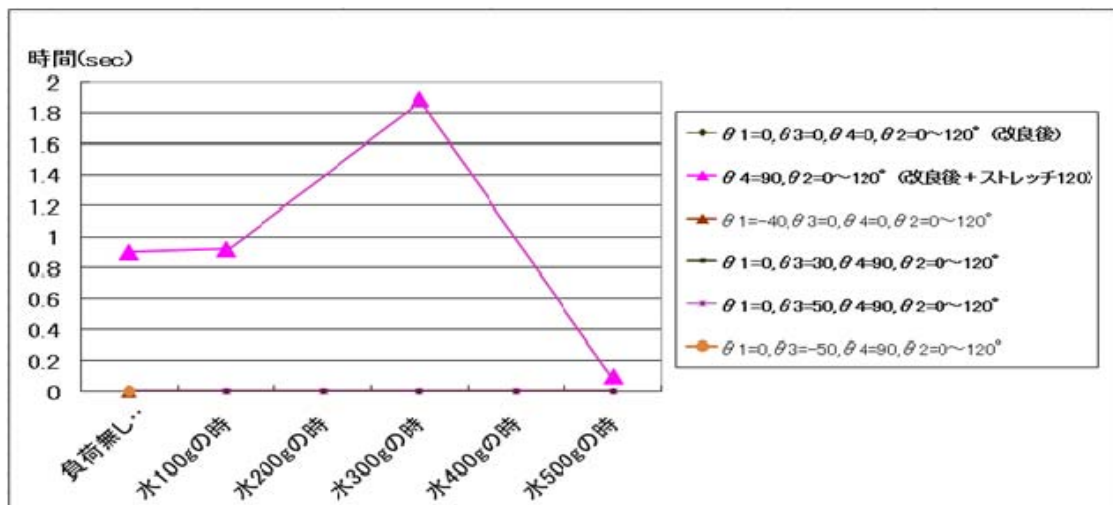


図 38.  $\theta_2$ の立上り整定時間 $\pm 2\%$ (負荷 0~500g)

図 39 にステップ応答の一例 ( $\theta_4=90^\circ$   $\theta_2=0^\circ\sim 120^\circ$  負荷 500g) を示す。また、図 40 に立下り整定時間を測定するのに必要な拡大図を示す。

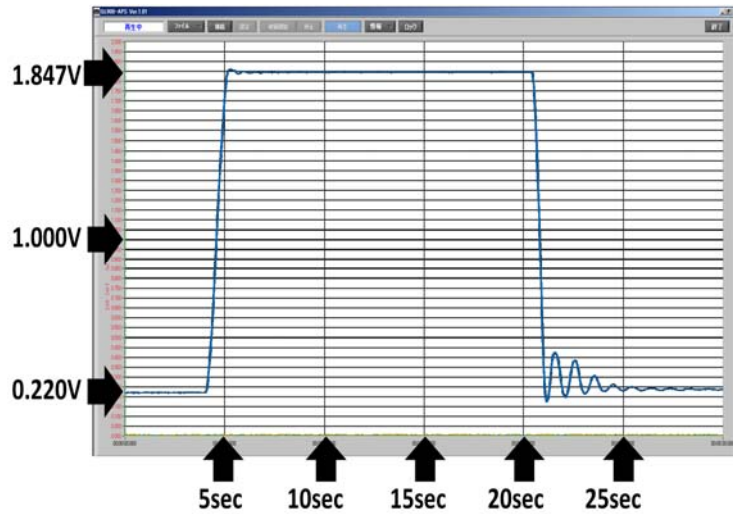


図 39.  $\theta_4=90^\circ$   $\theta_2=0^\circ\sim 120^\circ$  負荷 500g(ストレッチ 120)

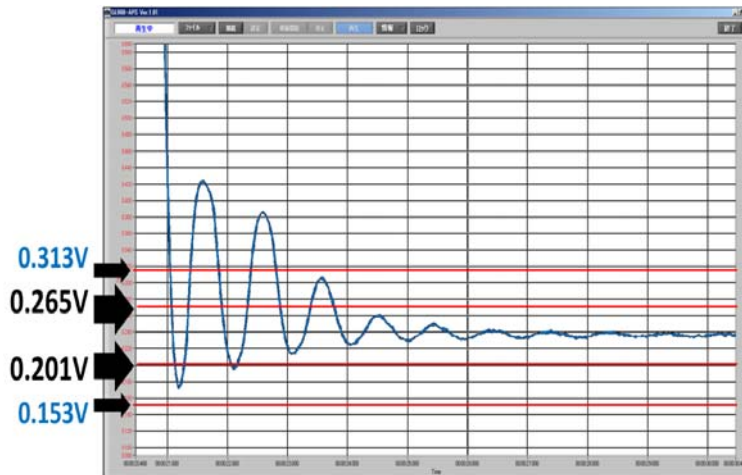


図 40. 整定時間 $\pm 2\%$ 範囲

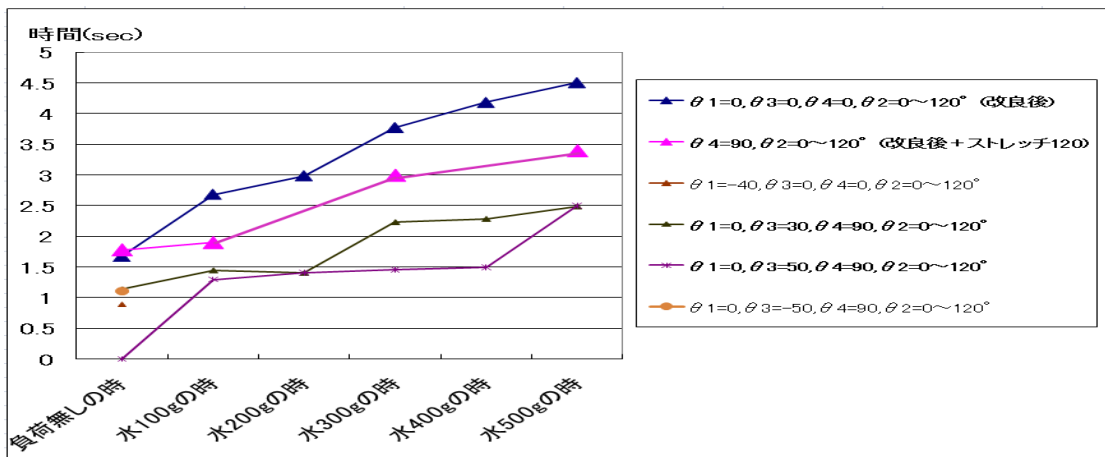


図 41.  $\theta_2$ の立下り整定時間 $\pm 2\%$ (負荷 0~500g)

上図は $\pm 2\%$ の整定時間だけだが、 $\pm 5\%$ の整定時間はすべて 0 秒以内に収まっていたので省略をした。立上り整定時間が $\pm 2\%$ の時、図 38 のようにストレ

ッチを 120 (産業用ロボット用) で負荷が 300g の時は 1.9 秒であるが、残りの負荷 500g までのデータの測定結果は、すべての場合において 1 秒以内に

収まった。この肩義手の精度の高さを証明することができた。図 41 は  $\theta_2$  の立下り整定時間の結果だが、重力の影響を受け、肩義手の取付台が反作用で大き

**6.2.2. 上腕水平回転運動 ( $\theta_1$ ) の整定時間 $\pm 2\%$**

く振動する為、整定時間は負荷が大きくなるにつれて長くなっていることがわかる。

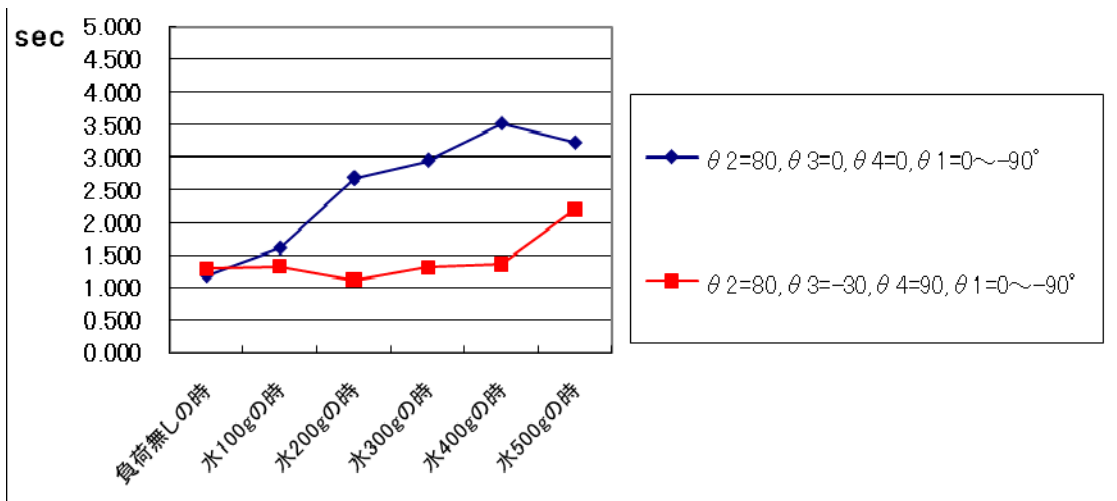


図 42.  $\theta_1$  の立上り整定時間 $\pm 2\%$ (負荷 0~500g)

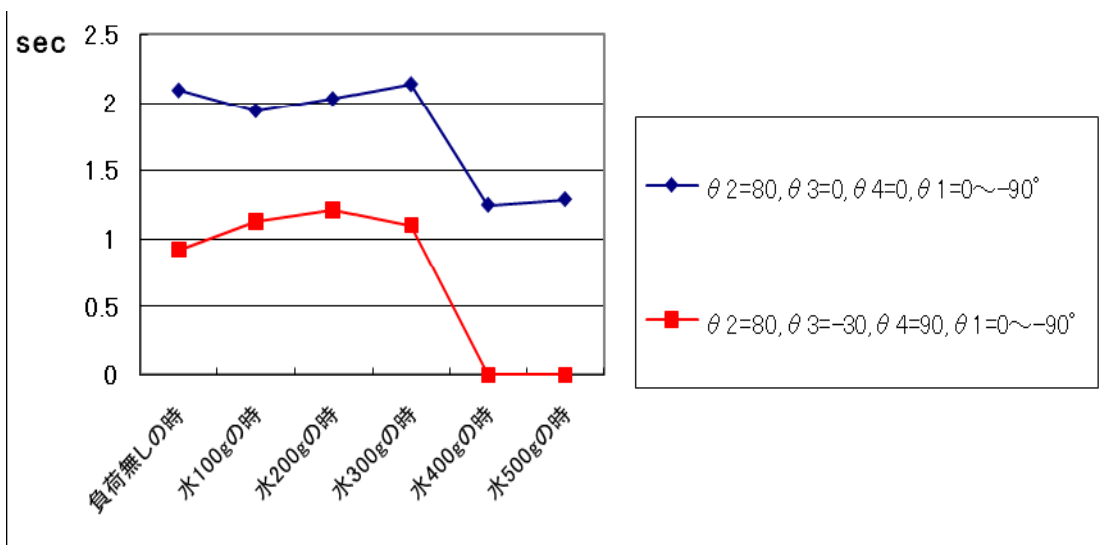


図 43.  $\theta_1$  の立下り整定時間 $\pm 2\%$ (負荷 0~500g)

これら 2 つの図は、 $\theta_1$  の横方向の動きを解析したものである。定常偏差でポテンシオメータの滑りを確認したデータもあるので、正確なデータとは言い切れない。しかし、重いものを運ぼうとするとき、同じトルクで動かそうとするとスピードは弱まることは言うまでもない。その要因から整定時間は 400g や 500g のものを運ぼうとすると図 35 の立下りの変動波形よりすぐに許容範囲に収まっていることが分かる。

### 6.3 定常偏差について

はじめに定常偏差の計算方法を示しておく。ポテ

ンシオメータの回転角度と GL900 よりわかる電圧から、目標角と実際の動作角の差分を定常偏差とする。例えば、図 22 に示す 5.1.1 『負荷 (水) 300g, 上腕回旋角  $30^\circ$  肘屈曲角  $90^\circ$  での上腕挙上運動 ( $\theta_2=0\sim 120^\circ$ )』の場合の立上りで計算してみる。下が 2.86V, 上が 4.58V なので出力は、 $4.58 - 2.86 = 1.72V$  である。求めたい角度を X とおき、電圧を角度に変換する計算式は、

$$\text{角度 } X^\circ : \text{出力 } V = 340^\circ : 5V$$

より、出力に 1.72V を代入すると、 $X : 1.72 = 340 : 5$  から  $X = 116.96$  となる。

目標角は  $120^\circ$  なので  $120 - 116.96 = 3.04$ 。定常偏差は  $3.04^\circ$  となる。

6.3.1. 上腕挙上運動 ( $\theta_2$ 立上り時) の  
定常偏差

120° 負荷 300g, ストレッチ 120) 及び, 定常偏差  
を求めるための図を示す。

図 44 にステップ応答の一例 ( $\theta_4=90^\circ$   $\theta_2=0^\circ\sim$

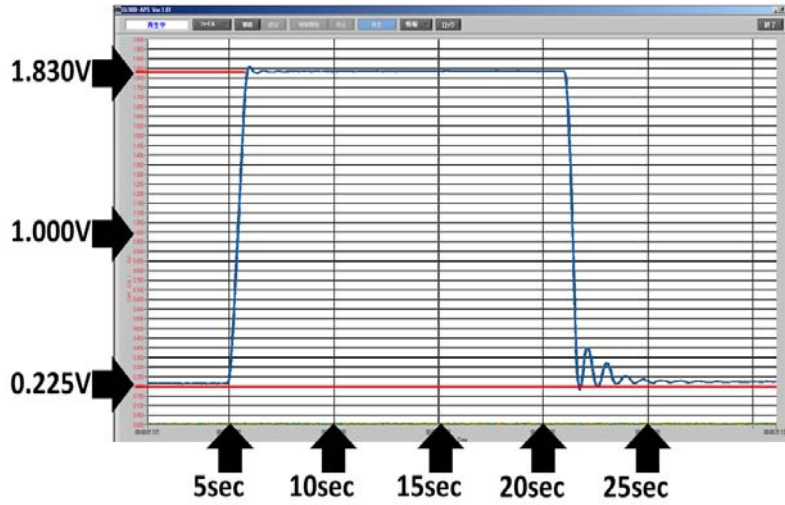


図 44.  $\theta_4=90^\circ$   $\theta_2=0^\circ\sim 120^\circ$  負荷 300g(ストレッチ 120)

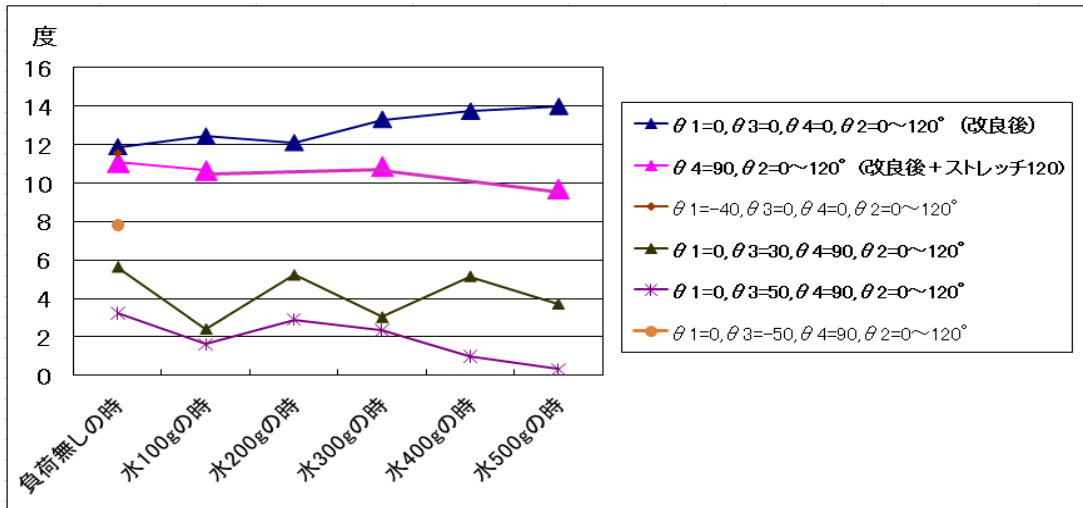


図 45.  $\theta_2$ の定常偏差 (立上り) (負荷 0~500g)

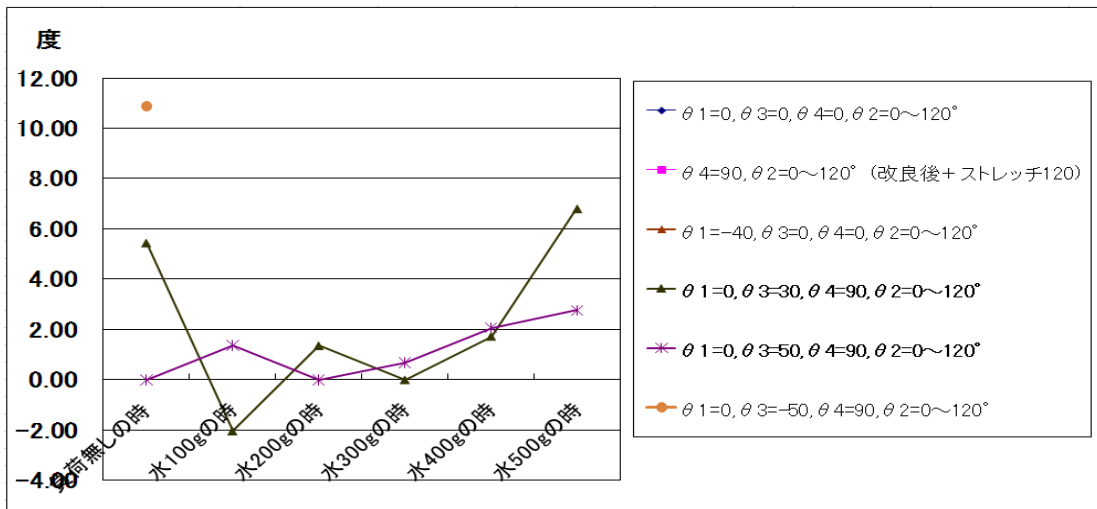


図 46.  $\theta_1$  (上腕水平回転) 定常偏差 (立上り) (負荷 0~500g)



図 45 は上腕挙上角( $\theta_2$ )を  $0 \rightarrow 120^\circ$  までステップ応答させ最高スピードで動かしたときの定常偏差(負荷  $0 \sim 500g$ )であり、図 45 はその時の  $\theta_1$  の定常偏差である。図 45 よりわかることは、緑の線(小さい三角印)で示した上腕回旋角  $30^\circ$  及び肘屈曲角  $90^\circ$  曲げた状態の上腕挙上の定常偏差が  $2^\circ \sim 6^\circ$  の間にあり、ほぼ目標角まで達しているということである。さらに負荷なしであっても水  $500g$  を持たせた状態でも目標角に近いということもわかる。紫の線(星印)で示した上腕回旋角  $50^\circ$  の時も同様である。この2つの状態は特に人間の生活の机上動作に近い角度である。従って日常動作を行う時に最も安定した動きができるということである。図 46 の緑(三角印)と紫(星印)は図 45 の  $\theta_2$  の動きに対

応して  $\theta_1$  (上腕水平回転角) がどの程度変形するかを示している。上腕挙上を動かさせた瞬間強い振動とエネルギー吸収ボックスの弾性変形が生じるが目標値に手先が移動できれば図 45 図 46 のような弾性変形量となる。

### 6.3.2. 上腕挙上運動 ( $\theta_2$ 立下り時) の定常偏差

図 47 にステップ応答の一例 ( $\theta_4=90^\circ$   $\theta_2=0 \sim 120^\circ$  負荷  $500g$ , ストレッチ  $120$ ) 及び、定常偏差を求めするための図を示す。

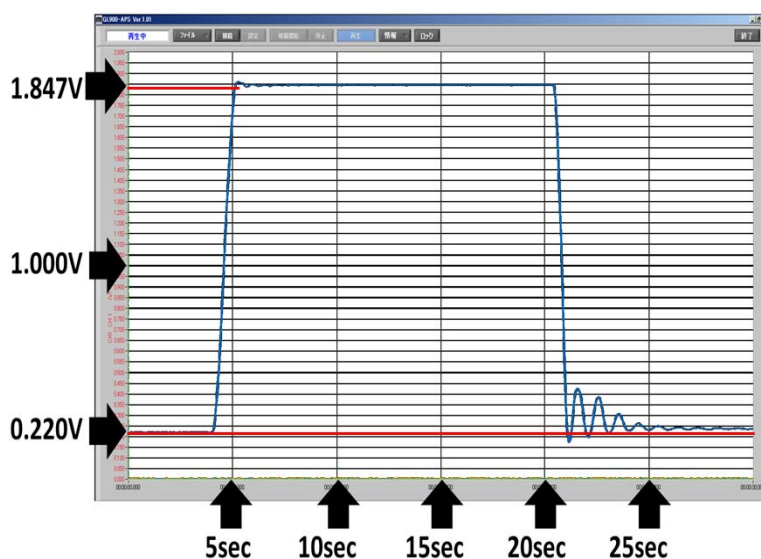


図 47.  $\theta_4=90^\circ$   $\theta_2=0 \sim 120^\circ$  負荷  $500g$ (ストレッチ  $120$ )

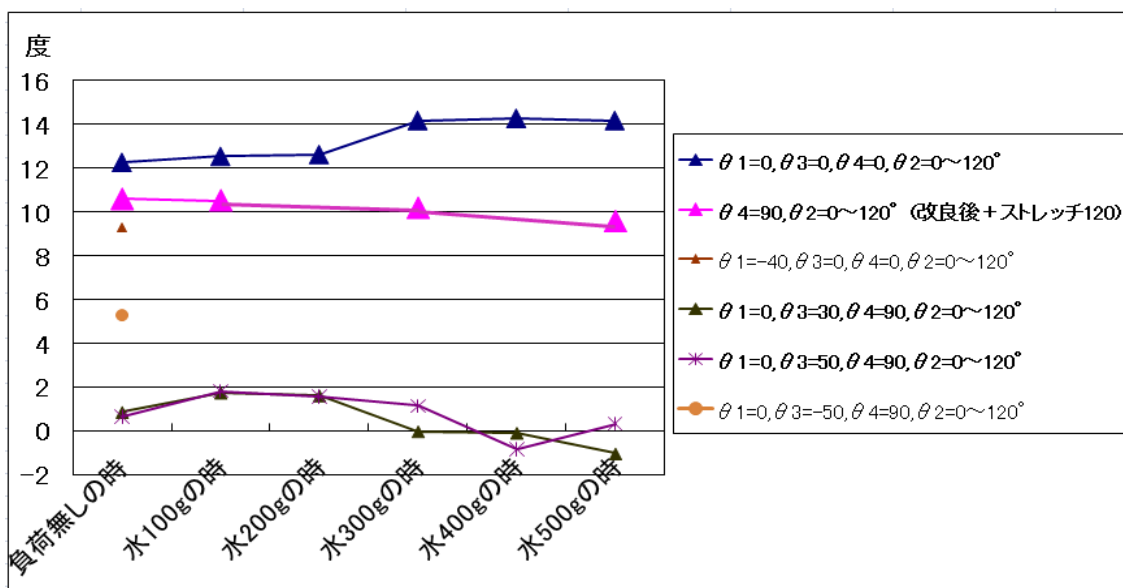


図 48.  $\theta_2$  の定常偏差 (立下り) (負荷  $0 \sim 500g$ )

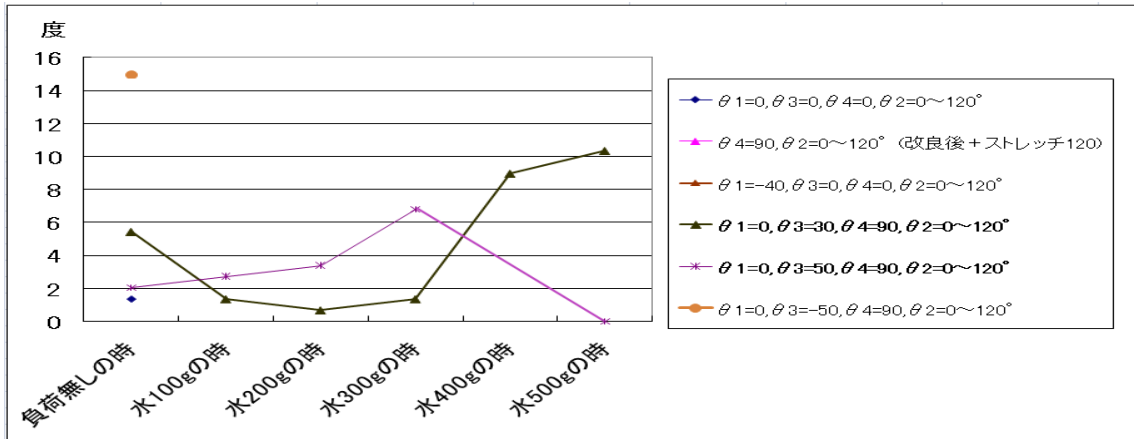


図 49.  $\theta_1$  定常偏差 (立下り) (負荷 0~500g)

図 48 は上腕挙上を  $120 \rightarrow 0^\circ$  までステップ応答により最高スピードで動かしたときの定常偏差であり、図 49 はその時の  $\theta_1$  の定常偏差である。図 47 に示すように、 $\theta_1=90^\circ$  で負荷 500g で (ストレッチ 120) で定常偏差は約  $9.5^\circ$  ぐらいである。立下り時のオーバーシュートは少なく、一定時間以内で目標値に振動無しで静止している。また、立下り時には 500g の負荷を持っている為と、肩義手の取付台の強

度に問題があり図 41 に示すように  $\pm 2\%$  の制限時間は約 4.5 秒以内である。柔軟関節 6 自由度ロボットアーム (肩義手) なのでまず振動が定常状態で 0 になっていると言う事が最も重要な条件である。

### 6.3.3. 上腕水平回転運動 ( $\theta_1$ 立上り時) の定常偏差

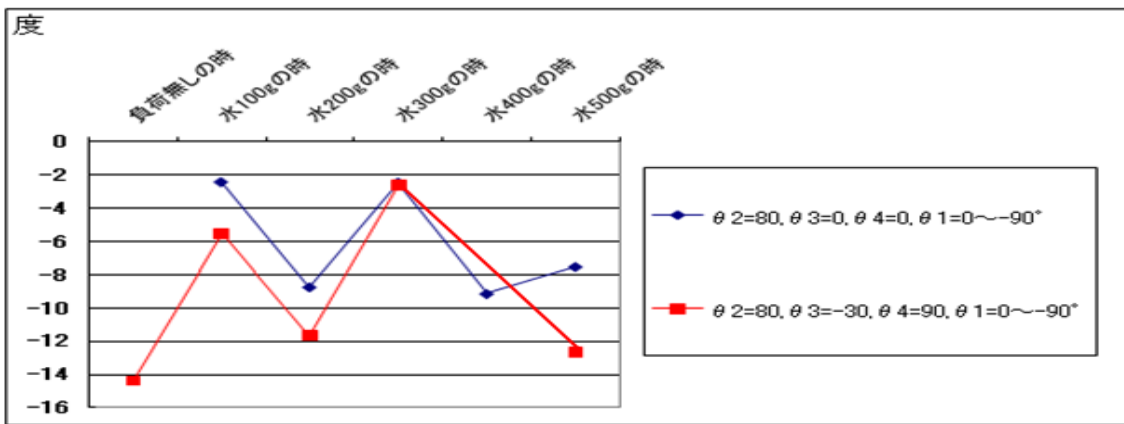


図 50.  $\theta_1$  の定常偏差 (立上り) (負荷 0~500g)

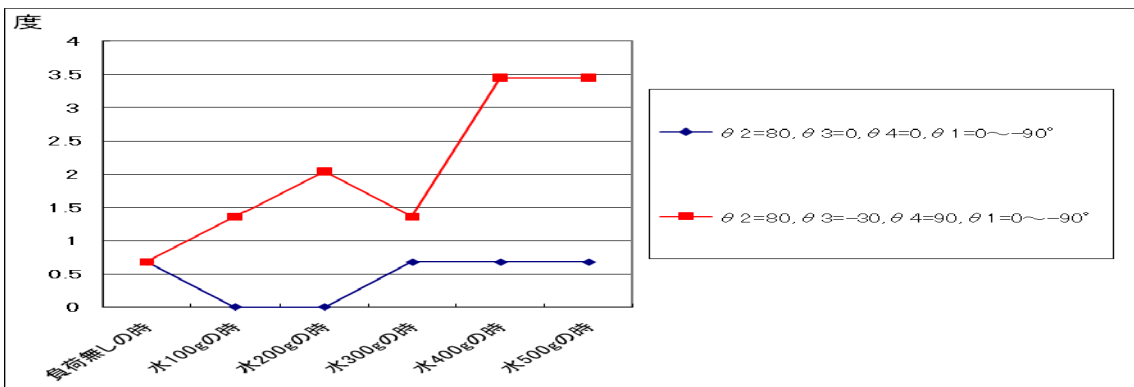


図 51.  $\theta_2$  定常偏差 (立上り) (負荷 0~500g)

図 50 は上腕水平回転を  $0 \rightarrow -90^\circ$  までステップ応答により最高スピードで動かさせたときの立上りの定常偏差であり, 図 51 はその時の  $\theta_2$  の定常偏差である。エネルギー吸収ボックスが弾性変形内で変形し

ながら振動を制止させている事が分かる。

### 6.3.4. 上腕水平回転運動 ( $\theta_1$ 立下り時) の定常偏差

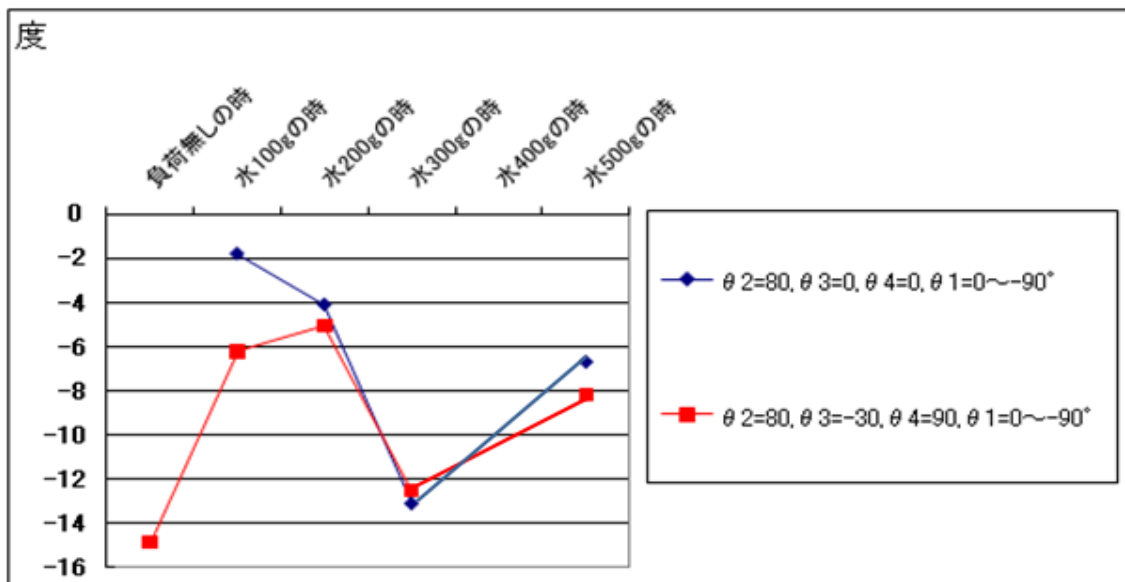


図 52.  $\theta_1$  の定常偏差 (立下り) (負荷 0~500g)

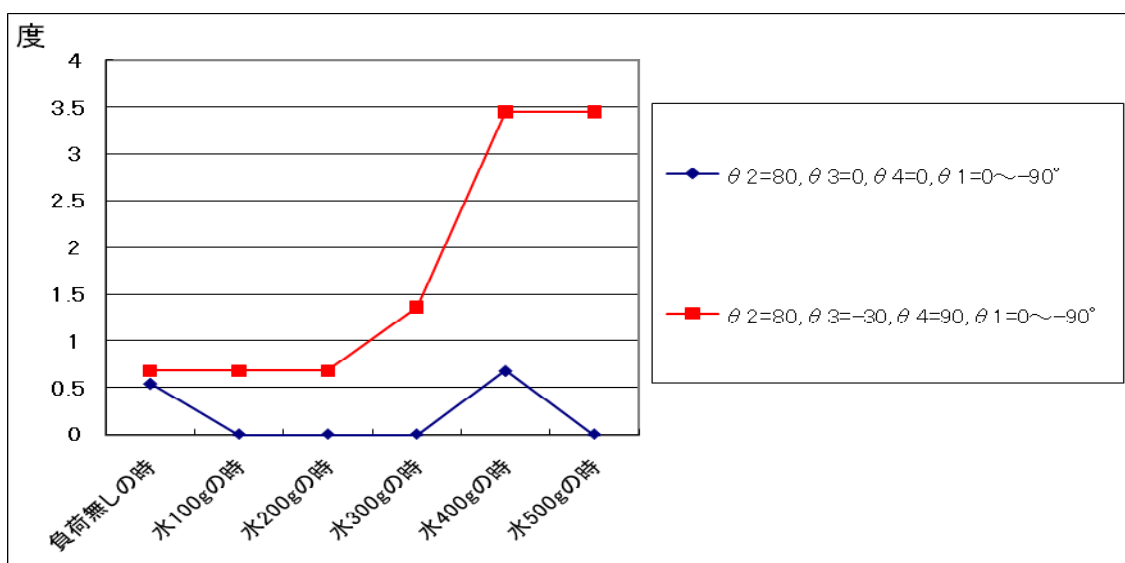


図 53.  $\theta_2$  定常偏差 (立下り) (負荷 0~500g)

図 52 は上腕水平回転を  $0 \rightarrow -90^\circ$  までステップ応答により最高スピードで動かさせたときの立下りの定常偏差であり, 図 53 はその時の  $\theta_2$  の定常偏差を処理し, グラフ化したものである。本データより  $\theta_1$  の変化に応じて  $\theta_2$  も変化しており, エネルギー吸収ボックスと名付けたダンピングファクター弾性限界内で変形しながら手先の振動が起こらないよう変形している事が良く理解できる。

### 6.3.5. 定常偏差についての考察

$\theta_1$  と  $\theta_2$  のステップ応答波形を  $\theta_3, \theta_4, \theta_5$  をパラメータとしてたくさんのデータを GL900 で縦軸 16 ビットの精度で, 横軸  $10 \mu \text{sec}$  のサンプリングタイムでコンピュータにデータを集めた。エクセルにより, 立上り時間・立下り時間,  $\pm 2\%$  に対応した整定時間,  $\theta_2$  を動かした時の定常偏差とその

時の  $\theta_1$  の定常偏差,  $\theta_1$  を動かした時の定常偏差とその時の  $\theta_2$  の定常偏差を測定しグラフ化した。その結果, エネルギー吸収ボックスは上腕の姿勢角に応じて, 弾性限界内で四角形が平行四辺形になる様に弾性変形しながら余分な振動成分をアルミの表面分子の振動エネルギーに与えることにより, 熱という形で約 2, 3 秒以内に振動はなくなっていることがわかった。高速で動くほど風速は早くなるので熱は放出されやすい。この実験結果により柔軟関節肩義手は製作可能であることがわかった。欠点として上記のような  $\theta_1$  と  $\theta_2$  の定常偏差に対応した目標値との誤差が生ずるが, 日本で最初のサリドマイド児用の電動義手を開発した徳大チームの1つである徳島大学医学部整形外科の先生方の考えでは, 軽量化と外観を向上させる方がより患者さんに喜んでもらえると言う意見である。しかし, ZMP 社のモーションセンサー(本研究紀要, 木下他: “エネルギー変換効率の良い6自由度柔軟関節肩義手(SDP, ロボットアーム 1.45kg)の顔面方位制御システム用肩部2自由度位置検出センサの開発”)を用いれば  $\theta_1, \theta_2$  の定常偏差はソフトウェアサーボを用いて0に近づけることができる。よって, ZMP 社のモーションセンサーIMU-Zを用いれば位置決め精度が要求される産業用ロボットとして応用可能である事が予想される。

## 7. まとめ

KRS-6003HVのトルクが67kg・cmと大きいので  $\theta_2$  の上腕挙上角に並列に2個使用すると, 水を入れたペットボトル500gを約90%のエネルギー変換効率で持ち上げることが可能であった。

KRS-2552HVを手先の開閉に使用する時, 手の親指と中指を合わせることで物を持ちやすくなると考えた。しかし思った以上にグローブは頑丈で, モータのトルクが足りずこのサーボモータでは300gのペットボトルを把持することが限界であった。故に, 手先のグローブ内の  $\theta_6$  のモータをKRS-4034HV (41.7kg・cm, 11.1V, 61.2g) のハイトルクモータへ変更した。ストレッチ<sup>29)</sup>(サーボの保持特性カーブ)をほぼ最大の120(MAX127, 産業用ロボット用)として上腕挙上運動( $\theta_2$ )のデータを少し測定できた。現在はストレッチをほぼ最大(産業用ロボット)の時とストレッチ標準状態(60)との比較がプログラム動作でしか行っていない。そこで今後はこれまでに測定した制御工学にある各パラメータで同

様の測定とデータ処理を行う必要がある。本研究で提案した6自由度柔軟関節ロボットアーム(肩義手)を用いれば, 工場の自動化に使用されている現在のロボットをエネルギー変換効率約90%に近い省エネタイプとする事が可能となり, 重量も大幅に軽量化できるため環境に優しい工場システムを実現可能となり, エネルギー問題解決の方向性を提案できたと確信する。

## 8. 謝辞

本研究にあたって, 参考文献に示した有本卓先生の研究成果に基づき, 本研究成果を完成させる事が出来たと思うので心より深く感謝します。また, JBL<sup>31)</sup>の大型スピーカの冷却方法も本研究に参考となっており感謝します。香川高等専門学校嘉門雅史校長先生のオリジナル, 革命的, 時代を超えて使用される(ORT)を満たす技術を開発せよとのアドバイスに心より感謝します。電動義手研究の恩師徳島大学工学部電子工学科故原田尚文教授に深謝します。初代詫間電波高専故石黒美種校長先生の励ましに感謝します。また, 共和工業, 佐藤技研, 緑測器, 近藤科学, ZMP社の各株式会社には研究に協力していただき深く感謝しています。また, 卒業研究として木下研究室で努力してくれた全ての卒業生に感謝します。

## 9. 参考文献

- 1) 木下敏治 他: “肩の2自由度に柔軟関節を用いた6自由度柔軟関節肩義手のモーションプロセッサ2HVを使用した顔面方位制御システムの開発”, 香川高等専門学校研究紀要第1号, p.113-130 (2010)
- 2) 木下敏治 他: “高トルクなシリアルRCサーボモータを用いた6自由度柔軟関節肩義手の協調動作制御システム”, 香川高等専門学校研究紀要第1号, p.131-138(2010)
- 3) 近藤科学株式会社: MP2Editor+MotionGenerator 取扱説明書, (2009)
- 4) 舟久保熙康: “医用精密工学 - 生体への工学的アプローチ -”, 丸善株式会社(1983)
- 5) 赤澤堅造 他: 動力義手・装具の研究開発の現状と将来, BME(医用電子と生体工学), Vol.13No.2, p.34-41 (1999)
- 6) Inoue Takahiro: Mechanics and control of soft-fingered manipulation, Springer(2008)



- 7) Birglen Lionel: Under actuated robotic hands, Springer(2008)
- 8) 有本卓: Control theory of multi-fingered hands: a modeling, Springer(2007)
- 9) 加藤 他: 筋電義手使用による運動機能再建の評価, 日本ロボット学会誌 October 2009, Vol.27 No.8, p102-108(2009)
- 10) 木下敏治 他: “クランク拮抗方式による形状記憶合金ロボットシステムの研究, 詫間電波工業高等専門学校研究紀要第 34 号, p47-56(2006)
- 11) 木下敏治 他: “RC サーボモータを用いた 6 自由度肩義手の協調動作制御システムの開発”, 詫間電波工業高等専門学校研究紀要第 35 号, p33-44 (2007)
- 12) 木下敏治 他: “高トルク・軽量の RC サーボモータを用いた 6 自由度肩義手の開発”, 詫間電波工業高等専門学校研究紀要第 35 号, p45-52 (2007)
- 13) 木下敏治 他: “ロボットコントロールボード RCB-1 を用いた 6 自由度肩義手の協調動作制御システムの開発”, 詫間電波工業高等専門学校研究紀要第 36 号, p37-46(2008)
- 14) 木下敏治 他: “RC サーボコントローラ AGB65-RSC を用いた 6 自由度肩義手の協調動作制御システムの開発”, 詫間電波工業高等専門学校研究紀要第 36 号, p47-56(2008)
- 15) 木下敏治 他: “肩義手のための RC サーボコントローラ AGB65-RSC を用いた感圧センサーの開発”, 詫間電波工業高等専門学校研究紀要第 37 号, p 55- 67(2009)
- 16) 木下敏治 他: “6 自由度肩義手協調動作制御システム用モーション作成の研究”, 本誌, 詫間電波工業高等専門学校研究紀要第 37 号, p69-85(2009)
- 17) 有本卓: 柔軟関節ロボットの制御, 新版ロボットの力学と制御, 朝倉書店, p96-99(2002)
- 18) 有本卓: Control theory of non-linear mechanical systems, Clarendon Press: a passivity-based and circuit-theoretic approach, Clarendon Press , (1996)
- 19) B&W (Bowers & Wilkins)800 Series カタログ, (2009)
- 20) フィクスト・サスペンション・トランスデューサー(略称 FST), B&W(Bowers & Wilkins)683/684 Series カタログ(2009)
- 21) 日本塑性加工学会: 非線形有限要素法, コロナ社(1994)
- 22) 舟久保熙康: 医用精密工学-生体への光学的アプローチ-, 丸善株式会社, (1983)
- 23) 顧 蘭明: 肩義手の顔面方位制御アルゴリズムの改良, 昭和 62 年度卒業論文, (1987)
- 24) 久本将貴, 6 自由度肩義手の顔面方位制御システムの開発, 香川高専電子通信工学専攻中四国専攻科発表会論文集, (2010)
- 25) 近藤科学株式会社, MP2Editor+MotionGenerator 取扱説明書
- 26) 久本 将貴: “6 自由度肩義手の顔面方位制御システムの開発”, 香川高等専門学校詫間キャンパス電子通信システム工学専攻科平成20 年度専攻科特別研究論文集, (2009)
- 27) 木下敏治 他: “6 自由度肩義手協調動作制御システム用モーション作成の研究”, 詫間電波工業高等専門学校研究紀要第 37 号, p.69-85 (2009)
- 28) 木下敏治 他: “肩義手のための RC サーボコントローラ AGB65-RSC を用いた感圧センサーの開発”, 詫間電波工業高等専門学校研究紀要第 37 号, p.55-67(2009)
- 29) 近藤科学株式会社: シリアルマネージャ for ICS3.0 V1.5 ソフトウェアマニュアル(2009)
- 30) 齊藤浩一: “国立東京工業高等専門学校・齊藤先生の e-nuvo IMU-Z で学ぶ 9 軸モーションセンサ”, 株式会社 ZMP, (2010)
- 31) ハーマンインターナショナル株式会社: “38cm/3Way Studio Monitor MODEL4365 カタログ, <http://www.haman-japan.co.jp>